



# БИООРГАНИЧЕСКАЯ ХИМИЯ

том 8 \* № 2 \* 1982

УДК 539.199

## МОДЕЛИРОВАНИЕ ОБРАЗОВАНИЯ КОМПЛЕКСА ВАЛИНОМИЦИНА С ИОНОМ КАЛИЯ В ВОДНОМ РАСТЕОРЕ

*Хуторский В. Е., Маковский Н. Н.*

*Институт теоретической физики Академии наук УССР, Киев*

Методом Монте-Карло моделированы взаимодействия в системе  $K^+$  – валиномицин – вода на разных стадиях входления иона  $K^+$  во внутримолекулярную полость. Обсуждаются характеристики гидратных слоев комплекса. Результаты свидетельствуют об «одностороннем» захвате иона молекулой валиномицина.

Построение молекулярной модели гетерогенной реакции комплексообразования валиномицина является необходимым этапом в изучении индуцированного этим ионофором транспорта иона  $K^+$  через фосфолипидный бислой. В этой связи представляет интерес исследование взаимодействий в системе  $K^+$  – валиномицин – вода на разных стадиях входления иона в внутримолекулярную полость ионофора.

В работе [1] методом Монте-Карло моделировалась гидратация  $K^+$ -комплекса валиномицина, в котором ион расположен в центре молекулы. В данном сообщении приведены результаты аналогичного исследования гидратации этого комплекса при различных положениях иона  $K^+$  на оси симметрии третьего порядка. Ранее выполненные конформационные расчеты  $K^+$ -комплекса [2], при которых варьировалось положение иона  $K^+$  относительно конформационно подвижной молекулы, позволили выявить на этой оси три устойчивых положения катиона (рис. 1). Было высказано предположение, что высокий активационный барьер при диссоциации комплекса преодолевается благодаря увеличивающейся сольватации иона  $K^+$  по мере его выхода из внутримолекулярной полости.

Из-за трудоемкости расчетов в данной работе исследовалась гидратация катиона лишь в тех точках на оси симметрии, которые отвечают максимумам и минимумам потенциальной энергии взаимодействия катиона с молекулой. Следует отметить, что изменения этой энергии вдоль оси симметрии третьего порядка с большой степенью точности симметричны относительно центра молекулы, поскольку катион взаимодействует в основном с симметрично расположеннымными полярными группами десипептидного остова валиномицина и практически не взаимодействует с гидрофобными боковыми цепями, вносящими нарушение в инверсионную симметрию молекулы. С другой стороны, при центральном положении иона  $K^+$  в комплексе имеет место неэквивалентность его взаимодействия с гидратными слоями, расположенными у противоположных отверстий браслетной молекулы [1] (рис. 2б), благодаря которой этот катион стремится сместиться в сторону фрагментов  $-L\text{-Val}-D\text{-Hyi-}$ .

Рассмотрим сначала гидратацию  $K^+$ -комплекса валиномицина, когда катион находится в вершине активационного барьера со стороны остатков  $-L\text{-Val}-D\text{-Hyi-}$  (рис. 2в). По методике, описанной в работе [1], была реализована процедура Монте-Карло для кластера, который состоял из 123 молекул воды, окружающих комплекс при температуре 298К. Энергия взаимодействия этого комплекса с водой при достижении равновесного состояния составляет  $-98$  ккал/моль, что на 19 ккал/моль ниже энергии взаимодействия с водой такого комплекса, в котором  $K^+$  расположен в центре молекулы. Таким образом, при выходе  $K^+$  в сторону остатков  $-L\text{-Val}-D\text{-Hyi-}$  активационный барьер заметно снижается благодаря гидратации, что подтверждает предположение о катализитической роли раствори-

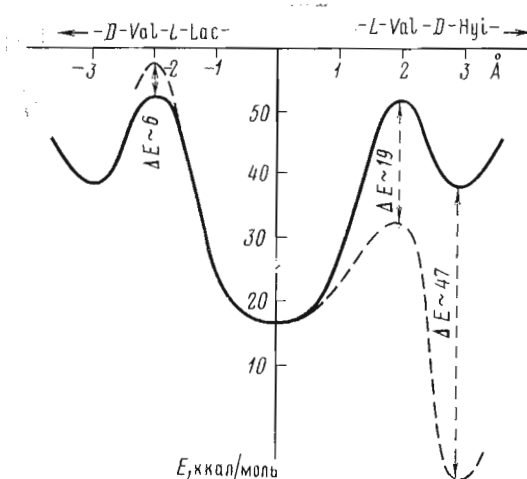


Рис. 1. Энергетический профиль вдоль координаты реакции комплексообразования без учета (сплошная кривая) и при учете гидратации (пунктир; за нулевую припять энергия гидратации  $K^+$ -комплекса при положении катиона в центре молекулы валиномицина)

теля при диссоциации  $K^+$ -комплекса. Столь существенное понижение активационного барьера дает основание предположить, что выход катиона из внутримолекулярной полости не сопровождается «раскрытием» браслета и переходом молекулы в корзиноподобную конформацию. Энергия взаимодействия с молекулами воды иона  $K^+$ , смещенного от центра полости ( $-44$  ккал/моль), на  $7$  ккал/моль ниже, чем у этого же иона, находящегося в центре полости, что естественно объясняется меньшей экранировкой катиона ионофором. Анализ равновесных конфигураций показывает, что вокруг  $K^+$ -комплекса упорядоченно расположены около  $20$  молекул, из которых  $11$  находятся у торца браслета со стороны фрагментов  $-L\text{-Val}-D\text{-Hui-}$ ,  $6$  с противоположной стороны и  $3$  у боковой поверхности (табл. 1, рис. 2 $\sigma$ ).

Из табл. 1 $\sigma$  видно, что в рассматриваемом комплексе с  $K^+$  со стороны фрагментов  $-L\text{-Val}-D\text{-Hui-}$  наиболее сильно связана одна молекула воды, находящаяся от него на расстоянии  $\sim 3$  Å вблизи оси симметрии (рис. 2 $\sigma$ ). Энергия ее взаимодействия с катионом составляет  $-13$  ккал/моль, тогда как при центральном расположении катиона эта энергия всего около  $-6$  ккал/моль. Существенно взаимодействие иона еще с одной молекулой воды ( $-8$  ккал/моль), расположенной от него на расстоянии  $\sim 4$  Å. Остальные молекулы, образующие более удаленный гидратный слой, взаимодействуют с  $K^+$  намного слабее. Увеличивается взаимодействие с валиномицином молекулы воды, расположенной на оси симметрии со стороны остатков  $-D\text{-Val}-L\text{-Lac-}$  (табл. 1 $a$ ), поскольку катион внутри комплекса более удален от этого торца браслета и поэтому в меньшей степени препятствует реализации диполь-дипольных взаимодействий данной молекулы воды с лигандными группами [1]. Значительно возрастает взаимодействие с молекулами воды, расположенными у боковой поверхности браслета, так как в ослабленном поле сдвинутого катиона с большей эффективностью реализуются взаимодействия с полярными группами, экспонированными на этой поверхности (табл. 1 $\sigma$ ). Таким образом, уменьшение высоты активационного барьера со стороны  $-L\text{-Val}-D\text{-Hui-}$  является следствием не только увеличенной гидратации  $K^+$  из-за меньшего экранирующего действия молекулы, но и общего увеличения взаимодействия  $K^+$ -комплекса валиномицина с водой.

Перейдем к рассмотрению гидратации такого комплекса, в котором ион  $K^+$  находится на вершине активационного барьера со стороны остатков  $-D\text{-Val}-L\text{-Lac-}$ . В этом случае энергия взаимодействия  $K^+$ -комплекса с водой ( $-73$  ккал/моль) на  $6$  ккал/моль выше, чем при расположении катиона в центре полости, и, следовательно, активационный барьер в результате гидратации возрастает. Таким образом, можно заключить, что образование комплекса валиномицина с  $K^+$  может проходить только со стороны остатков  $-L\text{-Val}-D\text{-Hui-}$ . Подобный «односторонний» процесс наблюдается у пептидного аналога валиномицина — *cyclo*( $-L\text{-Pro}-L\text{-Val}-$

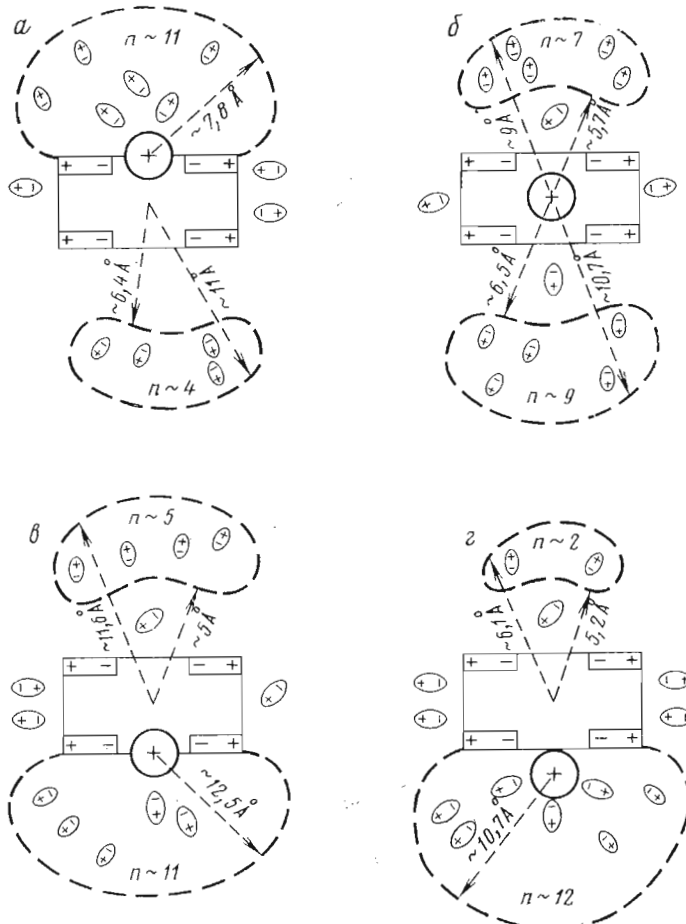


Рис. 2. Схематическое изображение гидратации  $\text{K}^+$ -комплекса при различных положениях катиона на оси симметрии третьего порядка (верхняя часть молекулы соответствует стороне остатков  $-D\text{-Val}-L\text{-Lac}-$ ;  $n$  — число молекул воды в данной области гидратного слоя; дополнительные пояснения в тексте)

$D\text{-Ala}-D\text{-Val})_3$  [3]. В гидратации комплекса участвуют 18 молекул воды, из которых 11 располагаются со стороны остатков  $-D\text{-Val}-L\text{-Lac}-$ , 4 с противоположной стороны и 3 у боковой поверхности (табл. 2). Наиболее сильно с ионом  $\text{K}^+$  взаимодействуют две молекулы воды, расположенные от него на расстоянии  $\sim 2,8 \text{ \AA}$  (табл. 2а). Взаимодействие  $\text{K}^+$ -комплекса с гидратным слоем, расположенным со стороны остатков  $-L\text{-Val}-D\text{-Hui}-$ , весьма слабое (табл. 2б) из-за удаленности  $\text{K}^+$  и экранирующего действия изопропильных групп. В рассматриваемом комплексе энергия взаимодействия иона  $\text{K}^+$  с водой ( $\sim -61$  ккал/моль) на 14 ккал/моль ниже, чем у комплекса с катионом, расположенным в центре молекулы. Однако потеря диполь-дипольных взаимодействий воды с лигандными группами со стороны остатков  $-D\text{-Val}-L\text{-Lac}-$  (из-за влияния поля сдвинутого в эту сторону катиона) и существенное ослабление взаимодействий с гидратным слоем у противоположной стороны браслета приводят даже к некоторому повышению общей энергии взаимодействия  $\text{K}^+$ -комплекса с водой.

Рассмотрим гидратацию комплекса, в котором ион  $\text{K}^+$  находится в локальном минимуме энергии его взаимодействия с молекулой со стороны остатков  $-L\text{-Val}-D\text{-Hui}-$  (рис. 2г). Взаимодействие  $\text{K}^+$ -комплекса с водой в этом случае составляет весьма существенную величину ( $-126$  ккал/моль), что приводит к такому увеличению глубины потенциальной ямы, что она становится даже глубже ямы, отвечающей комплексу с центральным рас-

Таблица 1

Энергетические и структурные характеристики молекул воды в гидратных слоях со стороны остатков  $-D\text{-Val}-L\text{-Lac}$ - (a), остатков  $-L\text{-Val}-D\text{-Hui}$ - (b) и боковой поверхности браслета (в)  $\text{K}^+$ -комплекса валиномицина, когда катион находится на вершине активационного барьера со стороны остатков  $-L\text{-Val}-D\text{-Hui}$ - ( $\sim 1,8 \text{ \AA}$  от центра молекулы)

a

<i>n</i>	1	2	3	4	5	6
$E_{\text{K}^+-\text{VIm}}$	-18,5	-3,4	-3,2	-2,4	-1,4	-0,9
$E_{\text{K}^+}$	4,9	0,1	-1,7	-1,6	-1,3	-0,9
$R_{\text{K}^+}$	5,1	7,3	6,8	8,9	10,5	13,0
$R$	3,2	5,3	5,1	7,4	8,5	11,6

б

<i>n</i>	1	2	3	4	5	6	7	8	9	10	11
$E_{\text{K}^+-\text{VIm}}$	-14,9	-6,8	-3,4	-3,1	-2,9	-1,9	-1,5	-1,5	-1,3	-1,3	-0,9
$E_{\text{K}^+}$	-13,2	-7,7	-2,2	-3,5	-2,5	-1,6	-1,4	-1,3	-1,1	-0,9	-0,9
$R_{\text{K}^+}$	3,0	4,2	7,1	6,2	6,8	7,3	9,9	6,5	7,8	12,5	12,0
$R$	4,8	6,0	8,3	7,7	8,1	8,8	11,4	8,1	9,3	13,8	12,8

в

<i>n</i>	1	2	3	<i>n</i>	1	2	3
$E_{\text{K}^+-\text{VIm}}$	-11,3	-7,8	-2,4	$R_{\text{K}^+}$	7,2	8,0	8,0
$E_{\text{K}^+}$	0,6	1,6	-1,1	$R$	6,9	7,4	8,0

Примечание.  $E_{\text{K}^+-\text{VIm}}$  — энергия взаимодействия комплекса с молекулой воды,  $E_{\text{K}^+}$  — энергия взаимодействия иона  $\text{K}^+$  с молекулой воды (обе в ккал/моль).  $R_{\text{K}^+}$  (Å) — расстояние от иона  $\text{K}^+$  до молекулы воды,  $R$  (Å) — расстояние от центра полости до молекулы воды, *n* — число молекул воды в данной области гидратного слоя.

положением катиона (рис. 1). Однако, учитывая сильное структурирование воды как вокруг выведенного из пределов внутримолекулярной полости иона  $\text{K}^+$  (табл. 3б), так и вблизи от браслета со стороны остатков  $-D\text{-Val}-L\text{-Lac}$ - (табл. 3а), которое приводит к энтропийной невыгодности рассматриваемого состояния (энтропийное слагаемое свободной энергии методом Монте-Карло рассчитать не удается), можно предположить, что изменение свободной энергии системы будет менее существенным (рис. 1). Энергия взаимодействия иона  $\text{K}^+$  с водой составляет  $\sim -74$  ккал/моль. Гидратная оболочка комплекса состоит из 19 молекул воды: 11 расположены с той же стороны, что и катион, всего 3 молекулы воды находятся у противоположной стороны браслета и 4 молекулы располагаются у боковой поверхности (табл. 3). В непосредственном контакте с ионом  $\text{K}^+$  на расстоянии  $\sim 2,8 \text{ \AA}$  находятся 3 молекулы воды (рис. 2г). Взаимодействие воды с лигандными группами со стороны остатков  $-D\text{-Val}-L\text{-Lac}$ - возвращает по сравнению со случаем, когда ион  $\text{K}^+$  находится на границе полости и практически исчезает гидратный слой, обусловленный полем катиона (табл. 3а). Увеличивается и количество молекул воды, расположенных у боковой поверхности (табл. 3в).

На рис. 2 наглядно показаны общие тенденции в изменениях гидратной оболочки  $\text{K}^+$ -комплекса валиномицина при перемещении катиона вдоль оси симметрии третьего порядка.

В заключение сделаем некоторые предположения о протекании гетерогенной реакции комплексообразования. Рассмотрим два варианта взаимодействия молекулы валиномицина с мембраной [4]. В первом случае эта молекула адсорбирована на поверхности, находясь в непосредственном контакте с полярными головками липидов. Во втором случае, раздвинув ли-

Таблица 2

**Энергетические и структурные характеристики молекул воды в гидратных слоях  $K^+$ -комплекса валиномицина, когда катион находится на вершине активационного барьера со стороны остатков  $-D\text{-Val}-L\text{-Lac}$**   
Обозначения те же, что и в табл. 1

*a*

<i>n</i>	1	2	3	4	5	6	7	8	9	10	11
$E_{K^+-\text{VIm}}$	-13,4	-9,6	-6,6	-5,3	-4,2	-3,3	-2,9	-1,8	-1,7	1,3	1,4
$E_{K^+}$	-13,4	-16,0	-5,2	-6,2	-3,1	-2,7	-2,7	-1,4	-3,8	0,1	2,9
$R_{K^+}$	2,8	2,8	5,1	4,9	6,0	7,3	3,0	7,6	5,9	7,8	6,1
$R$	4,5	4,4	6,6	6,7	7,3	8,7	4,7	9,5	7,0	8,7	7,9

*б*

<i>n</i>	1	2	3	4	<i>n</i>	1	2	3
$E_{K^+-\text{VIm}}$	-1,7	-4,6	-1,3	2,0	$E_{K^+-\text{VIm}}$	-11,6	-7,0	-0,9
$E_{K^+}$	-2,0	-0,8	-0,9	-0,6	$E_{K^+}$	-1,1	0,1	-0,9
$R_{K^+}$	8,1	10,8	11,6	10,6	$R_{K^+}$	7,0	7,6	12,3
$R$	6,4	9,2	11,0	9,0	$R$	6,8	7,9	12,5

Таблица 3

**Энергетические и структурные характеристики молекулы воды в гидратных слоях вокруг  $K^+$ -комплекса валиномицина, когда катион находится в локальном минимуме энергии со стороны остатков  $-L\text{-Val}-D\text{-Hui}$  ( $\sim 3 \text{ \AA}$  от центра молекулы)**  
Обозначения те же, что и в табл. 1

*a*

<i>n</i>	1	2	3	<i>n</i>	1	2	3
$E_{K^+-\text{VIm}}$	-20,1	-5,5	-1,3	$R_{K^+}$	6,3	8,0	9,0
$E_{K^+}$	2,9	0,8	-1,3	$R$	3,2	5,2	6,1

*б*

<i>n</i>	1	2	3	4	5	6	7	8	9	10	11	12
$E_{K^+-\text{VIm}}$	-14,7	-13,7	-12,0	-7,0	-4,6	-4,0	-3,1	-3,0	-2,8	-2,6	-1,7	-1,3
$E_{K^+}$	-15,6	-14,2	-13,6	-7,3	-4,0	-4,0	-2,6	-2,6	-1,8	-1,1	-1,6	-1,0
$R_{K^+}$	2,8	2,8	2,8	4,4	5,3	5,7	7,6	7,3	5,5	7,6	9,4	7,1
$R$	5,5	5,6	5,4	7,3	7,7	8,4	7,7	9,2	7,5	8,2	10,7	9,3

*в*

<i>n</i>	1	2	3	4	<i>n</i>	1	2	3	4
$E_{K^+-\text{VIm}}$	-8,8	-8,2	-3,1	-1,9	$R_{K^+}$	7,5	7,8	8,2	9,3
$E_{K^+}$	0,3	-0,5	-0,9	-1,7	$R$	7,5	7,3	8,1	9,4

пиды, молекула вторгается в мембрану и может вступать в контакты с гидрофобными хвостами липидов. Может показаться, что большее число гидрофобных групп на браслете со стороны остатков  $-L\text{-Val}-D\text{-Hui}$  во втором случае приведет к преимущественной ориентации именно этой стороны к гидрофобной зоне мембранны. Однако расчет показывает, что взаимодействия  $K^+$ -комплекса с молекулами воды, находящимися по разные стороны от плоскости инверсии, примерно одинаковы, несмотря на различную гидрофобность торцов браслета. Дело в том, что поле катиона направлено против поля лигандных групп, и это приводит к ослаблению взаимо-

действия с водой менее экранированных лигандных групп со стороны остатков  $-D\text{-Val} - L\text{-Lac}$ . Учитывая энтропийную выгодность более «рыхлого» гидратного слоя со стороны остатков  $-L\text{-Val} - D\text{-Hys}$  [1], можно предположить, что на границе раздела мембрана — вода молекула комплекса ориентирована преимущественно этой стороной в направлении водной фазы.

Вышеизложенные результаты, а также выводы работы [1] дают основание заключить, что в ходе гетерогенной реакции валиномицина с ионом  $K^+$  на границе раздела мембрана — вода последний внедряется в ионофор через торец браслета со стороны остатков  $L\text{-Val} - D\text{-Hys}$  при преимущественной ориентации этой стороны браслета к водной фазе.

Авторы выражают благодарность член-кор. АН СССР В. Т. Иванову за постоянный интерес к работе.

#### ЛИТЕРАТУРА

1. Хугорский В. Е., Маковский Н. И. Исследование гидратации  $K^+$ -комплекса валиномицина методом Монте-Карло. Препринт ИТФ-81-61Р. Киев, 1981, 14 с.
2. Хугорский В. Е., Иванов В. Т. Биоорган. химия, 1981, т. 7, № 11, с. 1638—1644.
3. Davis D. G., Gisin B. F. J. Amer. Chem. Soc., 1979, v. 101, № 4, p. 3755—3761.
4. Grell E., Funck T., Eggers F. In: Membranes. V. 3 / Ed. Eisenman G. New York — Basel: Marcel Dekker. Inc., 1975, p. 4—126.

Поступила в редакцию  
16.VII.1981

#### MODELING OF VALINOMYCIN-POTASSIUM ION COMPLEXATION IN AQUEOUS SOLUTION

KHUTORSKY V. E., MAKOVSKY N. N.

Institute for Theoretical Physics, Academy of Sciences  
of the Ukrainian SSR, Kiev

A Monte-Carlo method was used to simulate the interactions in the  $K^+$ -valinomycin-water system at various stages of the  $K^+$ -ion penetration into the intramolecular cavity. The hydrate layer characteristics of the complex are discussed. The results provide the evidence for the «one-sided» capture of an ion by the valinomycin molecule.